

**ETUDE STATIQUE D'UN FREIN A ETRIER (19-11-2018)**  
**Extrait de corrigé**

**PARTIE I : Torseurs d'efforts de freinage**

I.1 Forme du torseur des actions mécaniques.

- Actions normales  $d\vec{N}$  : pour chaque paire de points M' et N', les moments de ces composantes normales se compensent en P ;
- Efforts tangentiels  $d\vec{T}$  (contenues dans le plan  $(P, \vec{y}, \vec{z})$ ) : les moments sont orthogonaux au plan  $(P, \vec{y}, \vec{z})$  par nature du produit vectoriel, donc les moments en P sont suivant l'axe  $\vec{x}$ .

I.2 Eléments de réduction en P du torseur des actions mécaniques exercées par les plaquettes.

$$\left\{ T_{8U10/18} \right\} = \begin{cases} \vec{R}_{8U10/18} = \int_{\Gamma} d\vec{F}_{8/18} + \int_{\Gamma} d\vec{F}_{10/18} \\ \vec{M}_{8U10/18}(P) = \int_{\Gamma} \vec{PM}' \wedge d\vec{F}_{8/18} + \int_{\Gamma} \vec{PN}' \wedge d\vec{F}_{10/18} \end{cases}$$

Il vient :

$$\begin{aligned} \vec{R}_{8U10/18} &= \int_{-\beta R_i}^{\beta R_e} \int_{-\beta R_i}^{R_e} (-p\vec{x} + fp\vec{v}) rd\theta dr + \int_{-\beta R_i}^{\beta R_e} \int_{-\beta R_i}^{R_e} (p\vec{x} + fp\vec{v}) rd\theta dr \\ &= 2fp \int_{-\beta R_i}^{\beta R_e} \int_{-\beta R_i}^{R_e} (-\sin \theta \vec{y} + \cos \theta \vec{z}) rd\theta dr = 2fp(R_e^2 - R_i^2) \sin \beta \vec{z} \end{aligned}$$

et :

$$\begin{aligned} \vec{M}_{8U10/18}(P) &= \int_{-\beta R_i}^{\beta R_e} \int_{-\beta R_i}^{R_e} r\vec{u} \wedge (-p\vec{x} + fp\vec{v}) rd\theta dr + \int_{-\beta R_i}^{\beta R_e} \int_{-\beta R_i}^{R_e} r\vec{u} \wedge (p\vec{x} + fp\vec{v}) rd\theta dr \\ &= 2 \int_{-\beta R_i}^{\beta R_e} \int_{-\beta R_i}^{R_e} frp\vec{x} rd\theta dr = \frac{4}{3} fp(R_e^3 - R_i^3) \beta \vec{x} \end{aligned}$$

Finalement :

$$\boxed{\left\{ T_{8U10/18} \right\} = \left\{ \begin{array}{l} \vec{R}_{8U10/18} = 2fp(R_e^2 - R_i^2) \sin \beta \vec{z} \\ \vec{M}_{8U10/18}(P) = \frac{4}{3} fp(R_e^3 - R_i^3) \beta \vec{x} \end{array} \right\}_P}$$

**PARTIE II : Etude spatiale**

2.1- Bilan des Actions mécaniques

$$\left\{ F_{1/18} \right\} = \left\{ \begin{pmatrix} 0 \\ Y_{1/18} \\ Z_{1/18} \end{pmatrix}_R \begin{pmatrix} 0 \\ M_{1/18} \\ N_{1/18} \end{pmatrix} \right\}_P \quad \left\{ T_{8/18} \right\} = \left\{ \begin{array}{l} \vec{R}_{8/18} = pS\vec{x} + f p S \vec{z} \\ \vec{M}_{8/18}(P) = C f p \vec{x} \end{array} \right\} \quad \left\{ T_{10/18} \right\} = \left\{ \begin{array}{l} \vec{R}_{10/18} = -pS\vec{x} + f p S \vec{z} \\ \vec{M}_{10/18}(P) = C f p \vec{x} \end{array} \right\}$$

$$\left\{ T_{C_r/18} \right\} = \left\{ \begin{array}{l} \vec{0} \\ C_r \vec{x} \end{array} \right\}_P$$

### 2.2 – PFS à 18 en P

$$\begin{array}{ll} \textbf{TRS} & \begin{cases} pS - pS = 0 & (1) \\ Y_{1/18} = 0 & (2) \\ fpS + fpS + Z_{1/18} = 0 & (3) \end{cases} \quad \begin{array}{ll} \textbf{TMS/P} & \begin{cases} Cfp + Cfp + Cr = 0 & (4) \\ M_{1/18} = 0 & (5) \\ N_{1/18} = 0 & (6) \end{cases} \end{array} \end{array}$$

$$\begin{array}{ll} \underline{2.3} & Y_{1/18} = 0 ; Z_{1/18} = -2fpS ; M_{1/18} = 0 ; N_{1/18} = 0 \\ & Cr = -2Cfp \end{array}$$

### PARTIE III : Etude plane

3.1 – Les liaisons 14/4 et 14/17 sont des liaisons ponctuelles parfaites, de normale  $\vec{x}$ . Les actions  $\vec{R}_{14/4}$  (en F) et  $\vec{R}_{14/17}$  (en G) sont donc orientées selon  $\vec{x}$ .

$$\begin{array}{ll} \underline{3.2 - \text{Equilibre de 8}} & \vec{F}_{4/8} = \begin{pmatrix} X_{4/8} \\ Y_{4/8} \\ - \end{pmatrix}_R \quad \vec{F}_{8/18} = \begin{pmatrix} pS \\ 0 \\ - \end{pmatrix}_R \rightarrow \begin{cases} X_{4/8} - pS = 0 & (15) \\ Y_{4/8} = 0 & (16) \end{cases} \end{array}$$

$\vec{R}_{4/8}$  est donc selon  $\vec{x}$ .

### 3.3 – BAME et PFS à 4 en H

$$\left\{ \vec{F}_{8/4} \right\} = \left\{ \begin{pmatrix} X_{8/4} \\ Y_{8/4} \\ - \end{pmatrix}_R \begin{pmatrix} - \\ 0 \\ 0 \end{pmatrix} \right\}_K = \left\{ \begin{pmatrix} -pS\vec{x} \\ 0 \\ - \end{pmatrix}_R \begin{pmatrix} - \\ 0 \\ 0 \end{pmatrix} \right\}_K \quad \left\{ F(1 \rightarrow 4) \right\} = \left\{ \begin{pmatrix} X_{1/4} \\ Y_{1/4} \\ - \end{pmatrix}_R \begin{pmatrix} - \\ 0 \\ 0 \end{pmatrix} \right\}_H \quad \left\{ F(14 \rightarrow 4) \right\} = \left\{ \begin{pmatrix} X_{14/4} \\ 0 \\ - \end{pmatrix}_R \begin{pmatrix} - \\ 0 \\ 0 \end{pmatrix} \right\}_F$$

$$\begin{cases} -pS + X_{1/4} + X_{14/4} = 0 & (1) \\ Y_{1/4} = 0 & (2) \\ -bpS - aX_{14/4} = 0 & (3) \end{cases}$$

### Détails TMS/H.

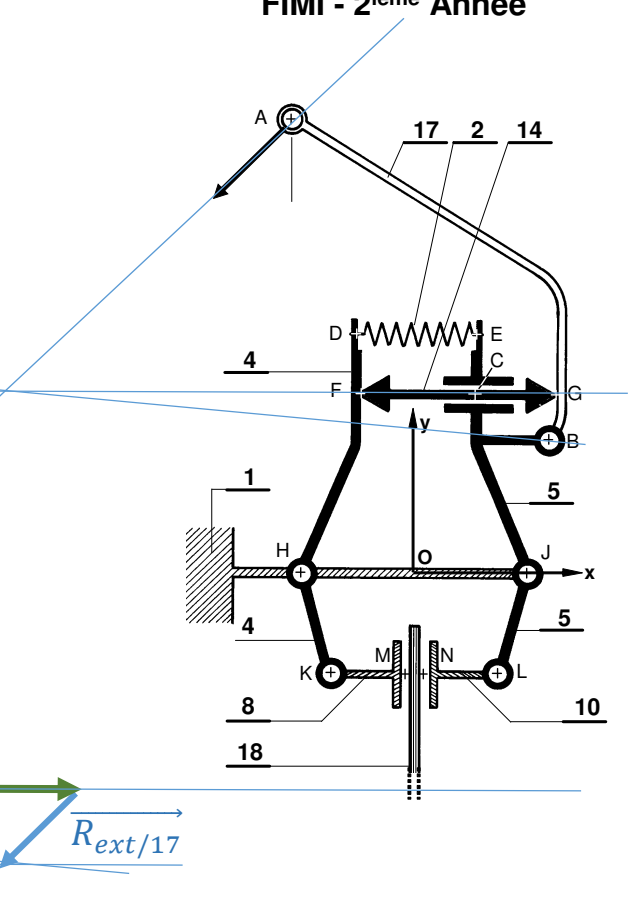
$$\begin{aligned} \vec{M}_{8/4}(H) + \cancel{\vec{M}_{1/4}(H)} + \vec{M}_{14/4}(H) &= \vec{0} \\ \cancel{\vec{M}_{8/4}(K)} + \vec{HK} \wedge \vec{F}_{8/4} + \cancel{\vec{M}_{14/4}(F)} + \vec{HF} \wedge \vec{F}_{14/4} &= \vec{0} \end{aligned}$$

$$\begin{cases} X_{1/4} = \frac{a+b}{a} pS & (1) \\ Y_{1/4} = 0 & (2) \\ X_{14/4} = -\frac{b}{a} pS & (3) \end{cases}$$

PARTIE IV : Statique graphique

$\overrightarrow{R_{14/17}}$

$\overrightarrow{R_{5/17}}$



Bame sur 17       $\overrightarrow{R_{ext/17}} + \overrightarrow{R_{5/17}} + \overrightarrow{R_{14/17}} = \vec{0}$

Système soumis à 3 glisseurs concourants.

Application numérique

$$\|\vec{R}_{17/14}\| = 2200N$$